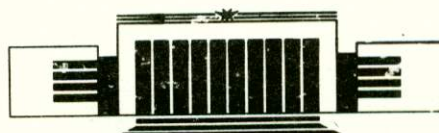




ИНСТИТУТ ЯДЕРНОЙ ФИЗИКИ СО АН СССР

**ВЫЧИСЛИТЕЛЬНЫЕ ПРОГРАММЫ  
ДЛЯ УСКОРИТЕЛЬНОЙ ТЕХНИКИ  
(КОНЦЕПТУАЛЬНОЕ И КОНКРЕТНОЕ  
ПРОЕКТИРОВАНИЕ)**

**Оперативно-информационный материал**



**НОВОСИБИРСК**

ИНСТИТУТ ЯДЕРНОЙ ФИЗИКИ СО АН СССР

ВЫЧИСЛИТЕЛЬНЫЕ ПРОГРАММЫ  
ДЛЯ УСКОРИТЕЛЬНОЙ ТЕХНИКИ  
(КОНЦЕПТУАЛЬНОЕ И КОНКРЕТНОЕ  
ПРОЕКТИРОВАНИЕ)

Оперативно-информационный материал

НОВОСИБИРСК  
1987

Вычислительные программы  
для ускорительной техники  
(концептуальное и конкретное проектирование)

А Н Н О Т А Ц И Я

Здесь представлен список вычислительных программ, которые разработаны в Институте ядерной физики СО АН СССР и применяются на различных этапах проектирования ускорительной техники. Список программ сопровождается краткими комментариями относительно численного метода, типа ЭВМ, входных и выходных данных, а также ссылками на публикации, если таковые имеются. Все программы написаны на Фортране, хотя в некоторых программах отдельные сегменты реализованы на других языках.

Искрывающую информацию о программах и опыте их использования можно получить у консультантов, фамилии и координаты которых указаны.

## I. МАГНИТНЫЕ ЭЛЕМЕНТЫ УСКОРИТЕЛЕЙ

### 1. MAG-2D

Программы для расчета аксиально-симметричных и плоских магнитных систем с учетом насыщения железа.

**Консультанты:** Дзюба В.А. (35-95-54), Маньков С.И., Тиунов М.А. (35-97-05, 35-99-85)

**Численный метод:** Прямой интегральный метод.

**ЭВМ:** Электроника 100/25, Электроника-79 (аксиально-симметричные поля); ODRA-1305 (плоские и аксиально-симметричные поля).

**Входные данные:** Геометрия железа, токовых шин, кривая  $\mu(B)$ , токи в шинах, разбиение железа на треугольные элементы.

**Выход графический:** Треугольная сетка с векторами намагничивания в элементах разбиения, геометрия токовых шин, магнитные силовые линии.

**Вывод текстовый:** Значения  $\mu$ -и  $B_r$ ,  $B_z$  в элементах разбиения железа, значения  $B_r$ ,  $B_z$  в любой точке пространства.

**Литература:** 1. Дзюба В.А., Карлинер М.М., Лысянский П.Б., Фомель Б.М. Вычисление стационарных магнитных полей в системах с железом и без железа.—Препринт ИЯФ 77-123. Новосибирск, 1977.

2. Маньков С.И. Дипломная работа, НГУ, 1984.

## 2. MAG-3D

Программы для расчета трехмерных магнитных систем с учетом насыщения железа.

**Консультант:** Тиунов М.А. (35-97-05)

**Численный метод:** Прямой интегральный метод.

**ЭВМ:** Электроника 100/25, Электроника-79.

**Входные данные:** Геометрия железа, токовых шин, кривая  $\mu(B)$ , токи в шинах, разбиение железа на треугольные призмы или тетраэдры, разбиение токовых шин на трехмерные элементы.

**Вывод графический:** Разбиение на трехмерные элементы железа и токовых шин (изометрия), вектора намагничивания в элементах разбиения, вектора сил в токовых элементах, магнитные силовые линии

**Вывод текстовый:** Значения  $\mu$ ,  $B_x$ ,  $B_y$ ,  $B_z$  в железе, значения  $B_x$ ,  $B_y$ ,  $B_z$  в пространстве, свободном от железа, значения компонент вектора силы  $F_x$ ,  $F_y$ ,  $F_z$  в токовых элементах.

**Литература:** 1. Тиунов М.А., Фомель Б.М. Расчет трехмерных магнитных систем с железом. — Препринт ИЯФ 83-150. Новосибирск, 1983.

## 3. SKIN

Комплекс программ для расчета квазистационарных магнитных полей в аксиально-симметричных системах (без железа).

**Консультанты:** Маньков С.И., Тиунов М.А. (35-97-05, 35-99-85)

**Численный метод:** Метод эквивалентных контуров. (Метод имеет преимущества по сравнению с методом векторного потенциала).

**ЭВМ:** Электроника 100/25, Электроника-79.

**Входные данные:** Геометрия проводников с разбиением на элементы прямоугольного сечения в плоскости  $r$ ,  $z$ . Параметры источника питания: напряжение, емкость, сопротивление и индуктивность коммутирующих цепей.

**Вывод графический и текстовый:** Зависимости токов, напряжений, магнитного поля от времени. Силовые линии магнитного поля в заданный момент времени.

**Литература:** 1. Тиунов М.А. Расчет квазистационарных магнитных полей в аксиально-симметричном случае методом эквивалентных контуров. — Препринт ИЯФ 82-59. Новосибирск, 1982.

## 4. IFIP

Программа для расчета аксиально-симметричных импульсных магнитов с шихтованным магнитопроводом.

**Консультант:** Маньков С.И. (35-97-05, 35-99-85)

**Численный метод:** Комбинация прямого интегрального метода и метода эквивалентных контуров.

**ЭВМ:** Электроника 100/25, Электроника-79.

**Входные данные:** Геометрия железа, токовых шин, кривая  $\mu(B)$ , токи в шинах, разбиение железа на треугольные элементы, разбиение шин на прямоугольные элементы. Параметры источника питания: напряжение, емкость, сопротивление и индуктивность коммутирующих цепей.

**Вывод графический и текстовый:** Магнитные поля в заданных точках и силовые линии в заданные моменты времени. Зависимости тока и напряжения от времени, значения  $\mu$  в каждом элементе разбиения железа.

**Литература:** 1. Маньков С.И. Дипломная работа, НГУ, 1984.

## 5. IRONAX

Комплекс программ для расчета аксиально-симметричных нелинейных магнитостатических систем и моделирования одночастичного и многочастичного движения с учетом пространственного заряда.

**Консультант:** Теряев В.Е. (35-94-96).

**Численный метод:** Метод вторичных источников. Модель цилиндрических трубок тока.

**ЭВМ:** ODRA-1305, EC-1061.

**Входные данные:** Геометрия магнитной системы, кривая  $\mu(B)$ , начальные условия для траекторий.

**Вывод текстовый:** Контроль геометрии, распределение плотности тока эквивалентных источников, силовые линии магнитного поля, траектории частиц.

**Литература:** 1. Теряев В.Е. Численный расчет стационарных полей с нелинейным ферромагнетиком. — Препринт ИЯФ 80-160. Новосибирск 1980.

## 6. TREM

Программа для расчета траекторий электронов в магнитных полях, создаваемых произвольно ориентированными отрезками и кольцами проводников с током.

**Консультант:** Теряев В.Е. (35-94-96).

**Численный метод:** Метод Рунге-Кутта.

**ЭВМ:** ODRA-1305.

**Входные данные:** Геометрия проводников с током, начальные условия для движения частиц.

**Вывод графический и текстовый:** Траектории частиц.

## 7. GOL

Программа для расчета траекторий электронов в магнитном поле, создаваемом системой произвольных проводников с током.

**Консультант:** Козаков С.Ю. (35-94-96).

**Численный метод:** Метод Эйлера.

**ЭВМ:** EC-1061.

**Входные данные:** Геометрия проводников, токи в проводниках, начальные условия для движения частиц.

**Вывод графический и текстовый:** Траектории частиц.

## 8. SPAT

Программа для моделирования динамики частиц в магнитном поле с учетом пространственного заряда пучка.

**Консультант:** Соляк Н.А. (35-94-96).

**Численный метод:** Метод макрочастиц.

**ЭВМ:** ODRA-1305.

**Входные данные:** Магнитное поле на оси системы. Начальные параметры пучка.

**Вывод графический и текстовый:** Магнитное поле на оси системы, начальный и конечный фазовый объем, траектории частиц.

## 9. INGA

Программа для расчета двумерных импульсных магнитных систем с учетом насыщения железа.

**Консультант:** Купчик В.И. (35-95-55).

**Численный метод:** Разностный метод решения уравнения для

векторного потенциала на неравномерной прямоугольной сетке.

**ЭВМ:** ODRA-1305, Одренок.

**Входные данные:** Параметры магнитной системы и цепи питания.

**Вывод графический и текстовый:** Геометрия магнитной системы и силовые линии магнитного поля.

**Литература:** Дойников Н.И., Кашихин В.С. Журнал технической физики, 1980, т.50, №.11, с.2277 — 2288.

## 10. IRMA

Программа для расчета стационарных магнитных полей в двухмерных системах с учетом насыщения железа.

**Консультант:** Купчик В.И. (35-95-55).

**Численный метод:** Разностный метод решения уравнения для векторного потенциала на неравномерной прямоугольной сетке.

**ЭВМ:** ODRA-1305, Одренок.

**Входные данные:** Параметры магнитной системы.

**Вывод графический и текстовый:** Геометрия магнитной системы и силовые линии магнитного поля.

**Литература:** Кашихин В.С. Препринт НИИЭФА Б-0598. Ленинград, 1982.

# II. ЭЛЕКТРОСТАТИЧЕСКИЕ ЭЛЕМЕНТЫ УСКОРИТЕЛЕЙ

## 1. SAM

Комплекс программ для расчета аксиально-симметричных магнитных ( $\mu = \text{const}$ ) и электростатических систем и для моделирования одночастичного движения.

**Консультанты:** Микишев Д.Г., Тиунов М.А. (35-97-05, 35-99-85)

**Численный метод:** Метод граничных интегральных уравнений. Сплайн-интерполяция поверхностной плотности зарядов, электрических или магнитных. Выделение особенностей плотности зарядов на кромках металлов, диэлектриков и магнетиков.

**ЭВМ:** Электроника 100/25, Электроника-79.

**Входные данные:** Геометрия системы с разбиением на элементы границ металлов и ферромагнетиков. Значения потенциалов на

электродах и токов в шинах. Значения  $\epsilon$  и  $\mu$  по обе стороны границ диэлектриков и магнетиков, начальные координаты частицы.

**Вывод графический:** Геометрия системы с разбиением границ на элементы, функция распределения плотности зарядов по поверхности, эквипотенциали, силовые линии, траектории частиц.

**Вывод текстовый:** Значения составляющих электростатического или магнитостатического полей, потенциалы на электродах, координаты движущихся заряженных частиц, углы наклона траекторий.

## 2. LINZ

Программа для расчета электростатических полей в двумерных системах.

**Консультант:** Темных А.Б. (35-99-74)

**Численный метод:** Метод интегральных уравнений.

**ЭВМ:** Одренок.

**Входные данные:** Геометрия электродов, металлических поверхностей, потенциалы на электродах, шаг разбиения поверхностей.

**Вывод графический:** Геометрия системы, область однородности электрического поля.

**Вывод текстовый:** Электрические поля и потенциалы в заданных точках.

## III. ЭЛЕКТРОННЫЕ ПУШКИ

### 1. SAM

Комплекс программ для расчета электронных пушек, обладающих аксиальной симметрией.

**Консультанты:** Мякишев Д.Г., Тиунов М.А. (35-97-05, 35-99-85).

**Численный метод:** Метод граничных интегральных уравнений. Модель плоского или сферического диода вблизи катода. Набор прямоугольных (в плоскости  $r, z$ ) сеток. Квазиламинарная модель трубок тока. Выделение особенностей электрического поля и потенциала объемного заряда в узлах сетки. Однородное распределение заряда внутри каждой ячейки сетки.

**ЭВМ:** Электроника 100/25, Электроника-79.

**Входные данные:** Геометрия пушки, сетки для пучка, потенциалы на электродах, длина зазора для модели плоского диода.

**Вывод графический и текстовый:** Траектории частиц пучка в заданной геометрии пушки, распределение плотности тока и углов по радиусу пучка, фазовый объем пучка, значение полного тока.

**Литература:** 1. Тиунов М.А., Фомель Б.М., Яковлев В.П., SAM — интерактивная программа для расчета электронных пушек на мини-ЭВМ. — Препринт ИЯФ. Новосибирск, 1987 (в печати).

### 2. POISSON-2

Программа для моделирования сильноточных стационарных релятивистских потоков заряженных частиц (двумерный случай).

**Консультанты:** Астрелин В.Т. (35-94-58), Иванов В.Я. (35-07-50)

**Численный метод:** Метод граничных интегральных уравнений со сплайн-аппроксимацией. Метод токовых трубок. Итерационный процесс решения с релаксацией по току или пространственному заряду.

**ЭВМ:** БЭСМ-6, ЕС-1022  $\div$  ЕС-1061

**Входные данные:** Геометрия системы, граничные условия, параметры дискретизации, стартовые параметры пучка.

**Вывод графический:** Геометрия системы, траектории, эквипотенциали, силовые линии.

**Вывод текстовый:** Электрические и магнитные поля, траектории и токи.

**Литература:** 1. Астрелин В.Т., Иванов В.Я. Пакет программ для расчета характеристик интенсивных пучков релятивистских заряженных частиц. Автометрия, 1980, № 3, с.92 — 99.

### 3. FLORES

Программа для моделирования динамики интенсивных аксиально-симметричных пучков релятивистских заряженных частиц.

**Консультант:** Хавин Н.Г. (35-94-17)

**Численный метод:** Метод интегральных уравнений для решения уравнения Пуассона. Метод Рунге-Кутта для решения уравнений движения.

**ЭВМ:** БЭСМ-6.

**Входные данные:** Геометрия системы, начальные параметры пучка (распределение тока, скоростей частиц, углов), граничные условия (Дирихле, Неймана).

**Вывод текстовый:** Электрические и магнитные поля в заданных точках, координаты, скорости частиц.

**Литература:** 1. Иванов В.Я., Хавин Н.Г. Численный метод расчета характеристик интенсивных пучков релятивистских заряженных частиц. — Препринт ИЯФ 77-52. Новосибирск, 1977.

2. Иванов В.Я., Хавин Н.Г. Численное решение уравнений движения релятивистских заряженных частиц в скоосогласованном поле. — Препринт ВЦ СО АН СССР. Новосибирск, 1978.

#### IV. ВЧ-ИНЖЕКТОРЫ

##### 1. MASON

Программа для расчета динамики интенсивного пучка заряженных частиц в переменном электромагнитном поле.

**Консультант:** Яковлев В.П. (35-97-05)

**Численный метод:** Метод конечных элементов для решения уравнения Пуассона. Метод макрочастиц для моделирования динамики пучка.

**ЭВМ:** ODRA-1305.

**Входные данные:** Геометрия ВЧ-инжектора, стартовые параметры пучка, напряжение на резонаторе, область пролета пучка для треугольной сетки.

**Вывод текстовый:** Ток, эмиттанс пучка на выходе инжектора.

**Литература:** 1. Карлинер М.М., Лысянский П.Б., Фомель Б.М., Яковлев В.П., Программа MASON для расчета динамики интенсивного пучка заряженных частиц в переменном электромагнитном поле. — Препринт ИЯФ 80-165. Новосибирск, 1980.

##### 2. MESH

Программа для расчета динамики коротких интенсивных электронных сгустков на этапе инжекции.

**Консультант:** Яковлев В.П. (35-97-05)

**Численный метод:** Схема Лакса для решения уравнений Максвелла. Метод макрочастиц «CIC» для моделирования динамики пучка.

**ЭВМ:** ODRA-1305.

**Входные данные:** Геометрия инжектора, стартовые параметры пучка.

**Вывод текстовый:** Параметры сгустка в заданный момент времени: фазовый объем, энергетический спектр, длина и заряд.

**Литература:** 1. Карлинер М.М., Мешков И.Н., Фомель Б.М., Яковлев В.П. Динамика коротких электронных сгустков на этапе инжекции. — Препринт ИЯФ 86-81. Новосибирск, 1986.

##### 3. TREKSAV

Программа для расчета одночастичного движения в ВЧ-поле и магнитостатическом поле.

**Консультант:** Теряев В.Е. (35-94-96)

**Численный метод:** Метод Рунге-Кутта.

**ЭВМ:** ODRA-1305.

**Входные данные:** Начальные условия для траекторий, ВЧ-поле из программы WELL, магнитное поле из программы IRONAX.

**Вывод графический и текстовый:** Траектории частиц, расстройка резонатора.

#### V. ВЧ-РЕЗОНАТОРЫ И ЛИНЕЙНЫЕ УСКОРЯЮЩИЕ СТРУКТУРЫ

##### 1. LANS

Программа для расчета азимутально-однородных мод колебаний в аксиально-симметричных ВЧ-резонаторах.

**Консультант:** Яковлев В.П. (35-97-05)

**Численный метод:** Метод конечных элементов, метод «обратных итераций» со сдвигом.

**ЭВМ:** ODRA-1305, Одренок.

**Входные данные:** Геометрия резонатора, начальное приближение собственной частоты, параметры генератора сетки (число элементов, плотность заполнения).

**Вывод графический:** Геометрия резонатора, логическая сетка. Распределение электрического и магнитного полей на поверхности и на оси резонатора, силовые линии электрического поля.

**Вывод текстовый:** Параметры резонатора: частота, добротность, характеристическое и шунтовое сопротивления, перенапряжение на поверхности.

**Литература:** 1. Карлинер М.М., Лысянский П.Б., Фомель Б.М.,

Яковлев В.П. LANS—программа для вычисления электромагнитных полей и собственных частот аксиально-симметричных резонаторов.—Препринт ИЯФ 79-59. Новосибирск, 1979.

## 2. LANS-2

Программа для расчета азимутально-неоднородных мод колебаний в аксиально-симметричных ВЧ-резонаторах.

**Консультант:** Яковлев В.П. (35-97-05)

**Численный метод:** Метод конечных элементов, метод «обратных итераций» со сдвигом.

**ЭВМ:** ODRA-1305.

**Входные данные:** Геометрия резонатора, начальное приближение собственной частоты, параметры генератора сетки (число элементов, плотность заполнения).

**Вывод текстовый:** Собственная частота и добротность резонатора.

**Литература:** 1. Карлингер М.М., Фомель Б.М., Яковлев В.П. LANS-2—программа расчета азимутально-неоднородных колебаний в аксиально-симметричных ВЧ-резонаторах.—Препринт ИЯФ 83-114. Новосибирск, 1983.

## 3. LANSF

Программа для расчета азимутально-однородных колебаний в аксиально-симметричных резонаторах с неоднородным ферромагнитным и диэлектрическим заполнением.

**Консультант:** Яковлев В.П. (35-97-05)

**Численный метод:** Метод конечных элементов.

**ЭВМ:** ODRA-1305.

**Входные данные:** Геометрия резонатора с заполнением, начальное приближение собственной частоты, значения  $\epsilon$  и  $\mu$  заполнителя, параметры генератора сетки.

**Вывод текстовый:** Собственная частота резонатора с заполнением.

**Литература:** 1. Карлингер М.М., Сокулин А.Ю., Яковлев В.П. Препринт ИЯФ 82-149. Новосибирск, 1982.

## 4. MAXWELL-2

Программа для расчета азимутально-неоднородных мод колебаний в аксиально-симметричных ВЧ-резонаторах.

**Консультант:** Яковлев В.П. (35-97-05)

**Численный метод:** Метод граничных интегральных уравнений.

**ЭВМ:** ODRA-1305.

**Входные данные:** Геометрия резонатора, диапазон частот.

**Вывод текстовый:** Собственная частота, распределение поверхностных токов.

**Литература:** 1. Иванов В.Я., Карлингер М.М., Теряев В.Е., Яковлев В.П. Применение метода интегральных уравнений для расчета ВЧ-резонаторов. —Препринт ИЯФ 83-59. Новосибирск, 1983.

## 5. WELL

Программа для расчета собственных частот и полей произвольных типов колебаний в аксиально-симметричных резонаторах.

**Консультант:** Теряев В.Е. (35-94-96)

**Численный метод:** Метод интегральных уравнений со сплайн аппроксимацией решения.

**ЭВМ:** ODRA-1305, EC-1061.

**Входные данные:** Геометрия резонатора, диапазон частот.

**Вывод текстовый:** Контроль геометрии, распределение плотности тока по поверхности, силовые линии электрических и магнитных полей, параметры резонатора.

**Литература:** 1. Иванов В.Я., Карлингер М.М., Теряев В.Е., Яковлев В.П. Применение метода интегральных уравнений для расчета ВЧ-резонаторов. —Препринт ИЯФ 83-59. Новосибирск, 1983.

## 6. MULTIMODE

Программа для расчета произвольных типов колебаний в аксиально-симметричных ВЧ-резонаторах.

**Консультант:** Яковлев В.П. (35-97-05)

**Численный метод:** Метод конечных элементов.

**ЭВМ:** EC-1061.

**Входные данные:** Геометрия резонатора или ячейки структуры,

сдвиг фазы на ячейку, параметры генератора сетки, число рассчитываемых мод колебаний.

**Вывод текстовый:** Собственные частоты, импедансы, добротности, распределения полей.

**Литература:** 1. Гонин И.В., Парамонов В.В., Федосеев А.И., Яковлев В.П. Численное моделирование полей колебаний с вариациями по азимуту в осесимметричных резонаторах. Реализация в пакете MULTIMODE.—Препринт ИЯИ. Москва, 1987.

## 7. NOV

Программа для расчета электромагнитных полей и критических длин волн Н-типов в однородном волноводе произвольного сечения.

**Консультант:** Казаков С.Ю. (35-94-96)

**Численный метод:** Разностный метод.

**ЭВМ:** ЕС-1061.

**Входные данные:** Геометрия волновода, начальные значения поля в узлах сетки.

**Вывод текстовый:** Таблица значений составляющих электромагнитного поля и длин волн.

## 8. DILU

Программа для расчета динамики электронного пучка в линейной ускоряющей структуре.

**Консультанты:** Дурнов П.А., Карнаев С.А. (35-95-51), Яковлев В.П. (35-97-05)

**Численный метод:** Параксиальное приближение 2-го порядка ВЧ-поля структуры со сплайн-интерполяцией. Метод макрочастиц (кольца с конечной толщиной) для моделирования пучка.

**ЭВМ:** Одренок.

**Входные данные:** Значение ВЧ-полей на оси ускоряющей структуры (вводятся из программы LANS). Стартовые параметры пучка (энергия, распределения макрочастиц по радиусу, длина по  $z$ , заряд). Магнитные поля фокусирующих систем.

**Вывод графический:** Распределение макрочастиц на фазовой плоскости в заданной точке по координате  $z$ .

**Вывод текстовый:** Параметры макрочастиц в заданной точке по  $z$ , энергетический спектр пучка, фазовый объем.

## 9. INJ

Программа для расчета динамики интенсивных электронных сгустков в однозazorных ВЧ-группирователях.

**Консультант:** Яковлев В.П. (35-97-05)

**Численный метод:** Метод макрочастиц.

**ЭВМ:** ODRA-1305.

**Входные данные:** Электрическое поле на оси группирующего резонатора, параметры пучка, фаза влета в резонатор, параметры фокусирующих магнитных линз.

**Вывод текстовый:** Энергетический разброс, фазовый объем, фазовый и радиальный размеры сгустка.

## 10. ILU

Программа для расчета динамики ионного пучка (с учетом пространственного заряда) в ускорителе с переменно-фазовой фокусировкой.

**Консультант:** Яковлев В.П. (35-97-05)

**Численный метод:** Метод макрочастиц.

**ЭВМ:** ODRA-1305.

**Входные данные:** Распределение электрического поля на оси ускоряющих зазоров, параметры пучка, равновесные фазы.

**Вывод текстовый:** Геометрия ускоряющей структуры, продольный и поперечный фазовые объемы.

## 11. BEAM

Программа для расчета динамики пучков заряженных частиц в электростатических ускорителях.

**Консультант:** Маньков С.И. (35-99-85)

**Численный метод:** Метод макрочастиц для моделирования пучка.

**ЭВМ:** Электроника 100/25, Электроника 79.

**Входные данные:** Геометрия структуры и ускоряющее поле в электростатическом приближении вводятся из комплекса программ AXID—AXIF. Стартовые параметры пучка.

**Вывод графический и текстовый:** Распределение макрочастиц на фазовой плоскости, параметры пучка на выходе ускоряющей структуры.

## 12. PSP

Программа для расчета энергетического разброса ультрарелятивистского электронного пучка в линейных суперколлайдерах (учет влияния синхротронного излучения в магнитной фокусирующей системе)

**Консультант:** Маньков С.И. (35-99-85)

**Численный метод:** Метод макрочастиц, метод матричных преобразований.

**ЭВМ:** Электроника 100/25, Электроника 79.

**Входные данные:** Параметры ускоряющей структуры и магнитной фокусирующей системы, стартовые параметры пучка.

**Вывод графический:** Распределение макрочастиц на фазовой плоскости, энергетический спектр пучка.

**Вывод текстовый:** Выходные параметры макрочастиц, фазовый объем пучка, энергетический спектр пучка

**Литература:** 1. Карлинер М.М., Маньков С.И., Фомель Б.М., Яковлев В.П. Рост энергетического разброса пучка вследствие действия синхротронного излучения в магнитной фокусирующей системе линейных ускорителей на большие энергии. — Препринт ИЯФ 86-94. Новосибирск, 1986.

## VI. ЦИКЛИЧЕСКИЕ УСКОРИТЕЛИ И НАКОПИТЕЛИ

### 1. OPTI

Программа для расчета  $\beta$ -функции и  $\psi$ -функции в магнитных структурах из поворотных магнитов и квадрупольных линз.

**Консультанты:** Дубровин А.Н. (35-96-43), Жоленц А.А. (35-99-75).

**Численный метод:** Матричный метод. Метод поиска оптимальной структуры.

**ЭВМ:** Одренок.

**Входные данные:** Параметры магнитной структуры (длины, градиенты, поля). Начальные значения  $\beta$ -функции и  $\psi$ -функции.

**Вывод графический и текстовый:** Магнитная структура,  $\beta$ -функция,  $\psi$ -функция.

**Литература:** 1. Жоленц А.А., Протопопов И.Я. Оптимизирующая программа расчета каналов транспортировки и согласованных

прямолинейных промежутков ускорителей заряженных частиц. Препринт ИЯФ 80-212. Новосибирск, 1980.

## 2. LINK

Программа для расчета параметров накопителя электронов ( $\beta$ -функция,  $\psi$ -функция, специальные интегралы, квадратичные поправки).

**Консультант:** Дубровин А.Н. (35-96-43)

**Численный метод:** Матричный метод, вычисление матриц квадратичного приближения.

**ЭВМ:** Одренок.

**Входные данные:** Магнитная структура накопителя, выходные файлы программы OPTI.

**Вывод графический и текстовый:** Расчетные функции и магнитная структура накопителя.

## 3. LERA

Программа для расчета основных функций и характеристик электронного накопителя.

**Консультанты:** Мезенцев Н.А., Левичев Е.Б. (35-99-76)

**Численный метод:** Матричный метод.

**ЭВМ:** Одренок.

**Входные данные:** Магнитная структура накопителя, магнитное поле, градиент, длина каждого элемента.

**Вывод графический:** Магнитная структура,  $\beta_{x,z}$ -функции,  $\eta$ -функция.

**Вывод текстовый:** Интегральные характеристики:  $v_x$ ,  $v_z$ , коэффициент уплотнения орбит, потери на оборот, время затухания, декремент затухания, установившиеся размеры пучка:  $\sigma_x$ ,  $\sigma_z$ ,  $\sigma_E$ , разброс по энергии, периметр, энергия, структурные интегралы  $S_1$ ,  $S_2$ ,  $S_3$ ,  $S_4$ ,  $S_5$ .

**Литература:** Мезенцев Н.А., Диссертация, ИЯФ СО АН СССР. Новосибирск, 1981.

## 4. TREK

Программа для расчета одночастичного движения в электронном накопителе с добавлением к линейным элементам произвольных квадрупольных и октупольных составляющих.

**Консультанты:** Мезенцев Н.А., Левичев Е.Б. (35-99-76)

**Численный метод:** Метод Рунге-Кутта.

**ЭВМ:** Одренок.

**Входные данные:** Магнитная структура накопителя, квадратичные и кубические нелинейности элементов.

**Вывод графический:** Фазовые объемы  $(x, x')$ ,  $(z, z')$ ,  $(xz)$  в заданном сечении накопителя, спектр частот.

**Вывод текстовый:** Значения частот  $v_x$ ,  $v_z$ .

#### 5. SCAN

Комплекс программ для расчета удельной светимости и «степени монохроматизации» (в установках со схемой монохроматизации) в  $e^+e^-$ -накопителях.

**Консультант:** Герасимов А.Л. (35-95-45)

**Численный метод:** Модель «сильный — слабый» пучок, итерирование траекторий большого числа частиц на протяжении нескольких времен затухания.

**ЭВМ:** ЕС-1061.

**Входные данные:** Параметры накопителя и «сильного» пучка.

**Вывод текстовый:** Удельная светимость, средние поперечные размеры пучка, «степень монохроматизации», статистические погрешности вычисляемых величин.

**Литература:** Герасимов А.Л., Жоленц А.А. Эффекты встречи в накопительных кольцах со схемой монохроматизации.—Препринт ИЯФ 86-85, Новосибирск, 1986.

2. Герасимов А.Л., Израйлев Ф.М., Теннисон Дж. Нелинейные резонансы и эффекты встречи для эллиптических пучков. Аннотации докладов на XIII Международной конференции по ускорителям частиц высокой энергии. Новосибирск, 1986.

#### 6. KLAPS 4

Программа для расчета светимости, траекторий частиц, спектра излучения при встрече 2-х (4-х) сгустков.

**Консультант:** Соляк Н.А. (35-94-96)

**Численный метод:** Метод макрочастиц. Модель плоских сгустков.

**ЭВМ:** ЕС-1061.

**Входные данные:** Начальные параметры сгустков (заряд, распределение плотности, количество).

**Вывод графический и текстовый:** Траектории частиц, спектр излучения, светимость.

#### 7. TRAC

Программа для расчета многооборотного прохождения частицы в накопителе электронов с учетом нелинейностей

**Консультант:** Вассерман И.Б. (35-95-55)

**Численный метод:** Матричный метод в нормализованном виде для линейных участков и тонкие элементы — для нелинейных.

**ЭВМ:** Одренок.

**Входные данные:** Параметры магнитной структуры накопителя и стартовые параметры частицы.

**Вывод графический и текстовый:** Контроль ввода, фазовый объем, траектория на фазовой плоскости, спектр частот, амплитуда колебаний.

#### 8. LIFE

Программа для расчета времени жизни и размеров пучка в накопителе электронов (эффект внутреннего рассеяния).

**Консультант:** Вассерман И.Б. (35-95-55)

**ЭВМ:** Одренок.

**Входные данные:** Параметры накопителя и пучка.

**Вывод текстовый:** Контроль ввода, время жизни пучка, энергетический разброс с учетом различных эффектов, размеры пучка в заданном сечении камеры.

**Литература:** Вассерман И.Б. Диссертация, ИЯФ СО АН СССР. Новосибирск, 1981.

#### 9. ВЗМ

Программа для расчета динамики интенсивного электронного пучка в циклическом ускорителе (взаимодействие пучка с ВЧ-резонатором)

**Консультанты:** Пеккер М.С. (35-95-54), Яковлев В.П. (35-97-05)

**Численный метод:** Метод Рунге-Кутта решения нелинейных уравнений синхротронных колебаний, записанных для макрочастиц.

**ЭВМ:** БЭСМ-6.

**Входные данные:** Параметры ускорителя (радиус, апертура, показатель спада магнитного поля), ВЧ-резонатора (добротность, характеристическое сопротивление, собственная частота), электронного пучка (начальное распределение макрочастиц и их заряд).

**Вывод графический и текстовый:** Распределение макрочастиц на фазовой плотности в заданные моменты времени. Зависимости от времени напряжения на резонаторе, среднего тока пучка и первой гармоники тока.

**Литература:** Карлинер М.М., Пеккер М.С., Туркин В.Ф., Фомель Б.М., Яковлев В.П. Аннотации докладов на X Всесоюзном совещании по ускорителям заряженных частиц, Дубна, 1986.

#### 10. SPACE

Программа для расчета динамики интенсивного электронного пучка в циклическом ускорителе (учет собственных продольных и радиальных кулоновских полей пучка).

**Консультанты:** Пеккер М.С. (35-95-54), Яковлев В.П. (35-97-05).

**Численный метод:** Метод Рунге-Кутта, решения полных уравнений движения макрочастиц в заданных граничных условиях.

**ЭВМ:** ODRA-1305, БЭСМ-6.

**Входные данные:** Параметры магнитной системы и вакуумной камеры ускорителя. Начальные параметры пучка (начальное распределение макрочастиц и их заряд).

**Вывод графический и текстовый:** Распределение макрочастиц на фазовой плоскости в заданные моменты времени. Зависимость от времени среднего тока пучка.

### VII. КОНВЕРСИОННЫЕ СИСТЕМЫ И ЗАЩИТА УСКОРИТЕЛЕЙ

#### 1. VTE

Комплекс программ для расчета эффективности электрон-позитронной конверсии через ондуляторное излучение.

**Консультант:** Всеволожская Т.А. (35-97-36)

**Численный метод:** Метод Монте-Карло.

**ЭВМ:** ODRA-1305.

**Входные данные:** Параметры электронного пучка, параметры ондулятора, мишени, литиевой линзы и секции предускорения.

**Вывод текстовый:** Параметры вторичных частиц.

**Литература:** 1. Chernyakin A.D. et al. Development of the conversion system for VLEPP project, Proc. XII Int. Conf. on High Energy Accelerators, Batavia, 1983, p.104.

#### 2. VTP

Программа для расчета эффективности протон-антипротонной конверсии в заданный фазовый объем.

**Консультант:** Всеволожская Т.А. (35-97-36)

**Численный метод:** Метод Монте-Карло.

**ЭВМ:** ODRA-1305.

**Входные данные:** Параметры мишени и линз, параметры протонного пучка, энергия и фазовый объем вторичных частиц.

**Вывод текстовый:** Все параметры вторичных частиц.

**Литература:** 1. Vsevolozskaya T.A. The Optimisation and Efficiency of Antiproton Production with a Fixed Acceptance.— Preprint INP 80-222. Novosibirsk, 1980.

2. Vsevolozskaya T.A. NIM, 190 (1981), p.479—486.

#### 3. EMSH

Программа для расчета прохождения электромагнитных ливней через однородное вещество цилиндрической или прямоугольной формы (атомный номер вещества  $1 \div 92$ , энергия начальной частицы  $30 \text{ кэВ} \div 100 \text{ ГэВ}$ )

**Консультант:** Таюрский В.А. (35-99-33)

**Численный метод:** Метод Монте-Карло.

**ЭВМ:** ЕС-1061.

**Входные данные:** Тип и энергия начальной частицы, характеристики вещества, характеристики мишени, угол и координаты падения пучка на поверхность.

**Вывод графический:** Гистограммы распределения частиц, вышедших из мишени.

**Вывод текстовый:** Таблицы средних характеристик частиц, потери энергии в веществе.

**Литература:** 1. Израйлев Ф.М., Сынах В.С., Таюрский В.А., Чириков Б.В., Шмаков В.Н. Расчет оптимального позитронного

конвертора методом Монте-Карло.—Препринт ИЯФ 63-73. Новосибирск, 1973.

2. Инструкция пользователя к программе EMSH в библиотеке программ для ЕС-1061 (ИЯФ).

#### 4. UNIMOD

Программа для моделирования экспериментов на встречных  $e^+e^-$ -пучках.

**Консультанты:** Букин А.Д., Таюрский В.А. (35-99-33) Иванченко В.Н. (35-98-06), Эйдельман С.И. (35-93-76).

**Численный метод:** Метод Монте-Карло.

**ЭВМ:** ЕС-1061.

**Входные данные:** Энергия встречных пучков, геометрия и параметры детектора, электронная схема детектора.

**Вывод графический:** Гистограммы распределения физических параметров в регистрирующих системах.

**Вывод текстовый:** Число рассчитанных событий, число запусков детектора. Подробная информация записывается на магнитную ленту.

**Литература:** 1. Букин А.Д. и др. UNIMOD—универсальная программа моделирования экспериментов на встречных  $e^+e^-$ -пучках.—Препринт ИЯФ 84-33. Новосибирск, 1984.

2. Инструкция пользователя к программе UNIMOD в библиотеке программ для ЕС-1061 (ИЯФ).

#### АЛФАВИТНЫЙ УКАЗАТЕЛЬ

(римская цифра указывает раздел, а следующая за ней арабская — номер программы).

Астрелин В.Т.	III: 2.
Букин А.Д.	VII: 4.
Вассерман И.Б.	VI: 7, 8.
Всеволожская Т.А.	VII: 1, 2.
Герасимов А.Л.	VI: 5.
Дзюба В.А.	I: 1.
Дубровин А.Н.	VI: 1, 2.
Дурнов П.А.	V: 8.
Жоленц А.А.	VI: 1, 5.
Иванченко В.Н.	VII: 4.
Израйлев Ф.М.	VI: 5; VII: 3.
Казаков С.Ю.	I: 7; V: 7.
Карлинер М.М.	I: 1; IV: 1, 2; V: 1, 2, 3, 4, 12; VI: 9.
Карнаев С.А.	V: 8.
Купчик В.И.	I: 9, 10.
Левичев Е.Б.	VI: 3, 4.
Лысянский П.Б.	I: 1; IV: 1; V: 1.
Маньков С.И.	I: 1, 3, 4; V: 11, 12.
Мезенцев Н.А.	VI: 3, 4.
Мешков И.Н.	IV: 2.
Мякишев Д.Г.	II: 1; III: 1.
Пеккер М.С.	VI: 9, 10.
Протопопов И.Я.	VI: 1.
Сокулин А.Ю.	V: 3.
Соляк Н.А.	I: 8; VI: 6.
Таюрский В.А.	VII: 3, 4.
Теряев В.С.	I: 5, 6; IV: 3, V: 4, 5.
Темных А.Б.	II: 2.
Тиунов М.А.	I: 1, 2, 3; II: 1; III: 1.
Туркин В.Ф.	VI: 9.
Фомель Б.М.	I: 1, 2; III: 1; IV: 1, 2, V: 1, 2, 12; VI: 9.
Хавин Н.Г.	III: 3.
Чернякин А.Д.	VII: 1.
Чириков Б.В.	VII: 3.
Шмаков В.Н.	VII: 3.
Эйдельман С.И.	VII: 4.
Яковлев В.П.	III: 1, 2; V: 1, 2, 3, 4, 5, 6, 8, 9, 10, 12; VI: 9, 10.

## Содержание

I. Магнитные элементы ускорителей . . . . .	3.
II. Электростатические элементы ускорителей . . . . .	7.
III. Электронные пушки . . . . .	8.
IV. ВЧ-инжекторы . . . . .	10.
V. ВЧ-резонаторы и линейные ускоряющие структуры . . . . .	11.
VI. Циклические ускорители и накопители . . . . .	16.
VII. Конверсионные системы и защита ускорителей . . . . .	20.
Алфавитный указатель . . . . .	23.

**Вычислительные программы  
для ускорительной техники  
(концептуальное и конкретное проектирование)**

*Редактор: Б.М. Фомель*

Оперативно-информационный материал

Ответственный за выпуск С.Г.Попов

---

Работа поступила 30 декабря 1986 г.

Подписано в печать 30.03. 1987 г. МН 08667

Формат бумаги 60×90 1/16 Объем 2,2 печ.л., 1,8 уч.-изд.л.

Тираж ... экз. Бесплатно. Заказ № 37

---

*Набрано в автоматизированной системе на базе фотонаборного автомата ФА1000 и ЭВМ «Электроника» и отпечатано на ротапринте Института ядерной физики  
СО АН СССР,  
Новосибирск, 630090, пр. академика Лаврентьева, 11.*